

Manjang Cave of Twinrock Composition obtained by Fundamen
Parameter Method in X-Ray Fluorescence Spectrometry

Fundamental Parameter 法에 의한 萬丈窟 熔岩 石柱의
螢光X線分析

澤 動

(大阪經濟法科大學 精報科學센타)

SAWA, ISAO
(OSAKA UNIVERSITY of
Economic and Law)

ABSTRACT

Cheju Island, which was formed by volcanic activity, is an oval in its shape with the major axis of 80km and the minor axis of 40km. The island holds in its heart Mt. Hanla rising 1,950m above the sea.

Petrological study of this volcanic island has been made actively by Sang-Man Lee, Chong-Kwan Won and Moon-Won Lee.

The chronological measurements of the island by Chong-Kwan Won and Moon-Won Lee showed that it is composed of Sanbangsan trachytes and Backlokdam trachytes(25,000 year ago). These reports are based on the chemical analysis and the radiometric chronological measurements on the ground. However, there has been no reports about the inside of caves.

We made an (composition) analysis of the inside of Manjang Cave by the fundamental parameter method in X-ray fluorescence spectrometry.

The fundamental parameter method in X-ray fluorescence spectrometry is nondestructive analysis, and it enables us to make the values processed by a computer.

The results obtained by this methods are as follows :
 SiO_2 (49 %), Al_2O_3 (17 %), Fe_2O_3 (13 %), CaO (8.1 %), MgO (5.5 %), Na_2O (3.6 %),
 TiO_2 (2.1 %), K_2O (0.86 %), P_2O_5 (0.28 %), and MnO (0.20 %), respectively.

The data obtained by the fundamental parameter method in X-ray fluorescence was compared with the data provided by Chong-Kwan Won and Moon-Won Lee. Our measurement was made by K-Ar-method in cooperation with T.ITAYA. The samples are of 30,000~420,000 year ago.

The composition of the values of our underground analysis with the existing values obtained by the analyses on the ground produced new data about Cheju volcanic island.

1. 序論

濟州火山島는 火山活動에 의하여 橢円形으로 되어 長經이 80 km 短經이 約 40 km로 되어 中央部에는 해발 約 1,950 m의 漢羅山을 갖은 섬이다.

濟州島의 岩石研究에는 李商萬, 元鍾寬 (1975²⁾, 1976³⁾), 李文遠 (1982⁴⁾⁵⁾, 1984⁶⁾)에 活潑히 發表하고 있다. 火山活動에 關한 年代測定에는 元鍾寬 · 李文遠 (1986)⁷⁾에 序報를 하고 있고 元鍾寬 等 (1986)⁸⁾에 의하면 『山房山溶岩과 백록담에 대한 年令測定은 각各 75 萬年과 二萬五千年을 나타낸다. 이測定은 岡山理科大學 山研究所에서 K-Ar 法에 의한것이다. 山房山 溶岩의 平均 年令이 75 萬年이라면 Brunches 정자극기와 松山 (Matuyama) 역자극기 사이에 境界의 약간하부와 對比된다. 반면 白鹿潭의 平均 年令이 約 二萬五千年이라면 Lake Biwa (琵琶湖), Lake Mono 또는 Laschamp excursion 중 어느 horizon과 對比된다. 日本의 琵琶湖의 研究와 一定한 關係를 가지고 있다.

本 研究에 있어서는 澤 · 板谷 (1988, 未發表)⁹⁾에 의해 萬丈窟의 双子溶岩石柱를 K - Ar 法에 의하여 年代測定을 하였다. 그 結果 SAWA 61 - 102 에는 0.03 ± 0.07 , 0.04 ± 0.04 또는 0.05 ± 0.05 (Ma)로 되고 있고 SAWA - 62 에는 0.42 ± 0.42 또는 0.32 ± 0.42 (Ma)로 되고 있다. 이와같은 DATA는 石柱의 局所에 의하여 3 萬年과 42 萬年의 差異가 있다. 그것은 溶岩石柱의 形成 過程이

約 40 萬年이나 지속되었음을 알 수 있다. 여기서는 文獻 8 의 中間에 있다는 것을 알게 되었다.

濟州火山島가 數十萬代의 過程에 있어서 年代을 알게되고 螢光 X 線分析에 의하여 含有量을 알게 되었다.

2. 實驗方法의 Model

이 實驗은 萬丈窟의 双子岩柱인 岩石을 分析하기 위해 螢光 X線分析인 Fundamental Parameter法을 使用하였다. 이러한 分析을 正確하고 一層 더 性能을 向上시키기 위하여 Back Ground除去, 重復의 補正法을 解決하기 위하여 Microcomputer에 의한 情報處理를 하였다.

이 裝置의 構造와 Data의 演算處理에 關하여서는 다음과 같은 Program을 作成하였다. 처음은 試料를 Set하고 測定 JOB (未知 試料分析 · 成分規格判定分析 · 標準試料測定 · 等……) 를 Microcomputer의 畫面上에서 指定시키고 登錄시킨 入力 Code名을 試料名으로 指名한다. Program의 Flow Chart의 條件에 따라서 Background除去 · 強度較正 · 內標準補正 · 檢量線定量 및 Matrix의 補正을 한다. 여기서 Process · Parameter의 計算과 成分 規格判定을 한다. 最後로 判定 決果를 Printer에 出力할 수 있는 仕組を 準備시켰다.

이 自動 Program에는 Fundamental Parameter法을 使用하고 檢量線을 作成하고, Matrix 補正定數의 算出等에 關한 準備 作業이 없어도 分析될 수 있도록 하기 위해서 FIG. 1과 같이 Flow Chart를 만들어졌다. FIG. 1을 使用하여서 各標準試料間에 있어서 分析한 分析值에 一點만 있어도 檢量線에匹敵할 正確度를 얻을 수 있다고 大野勝美¹⁰⁾는 使用하고 있다.

여기서 FIG. 1의 XRF-11은 J.W. Criss 가 開發한 Program

인 것이다. 이 Progam은 計算에 使用한 것은 Fundamental Parameter이고, Criss Software製의 XRF-11 (VERSION11 - MAY-81)이다.

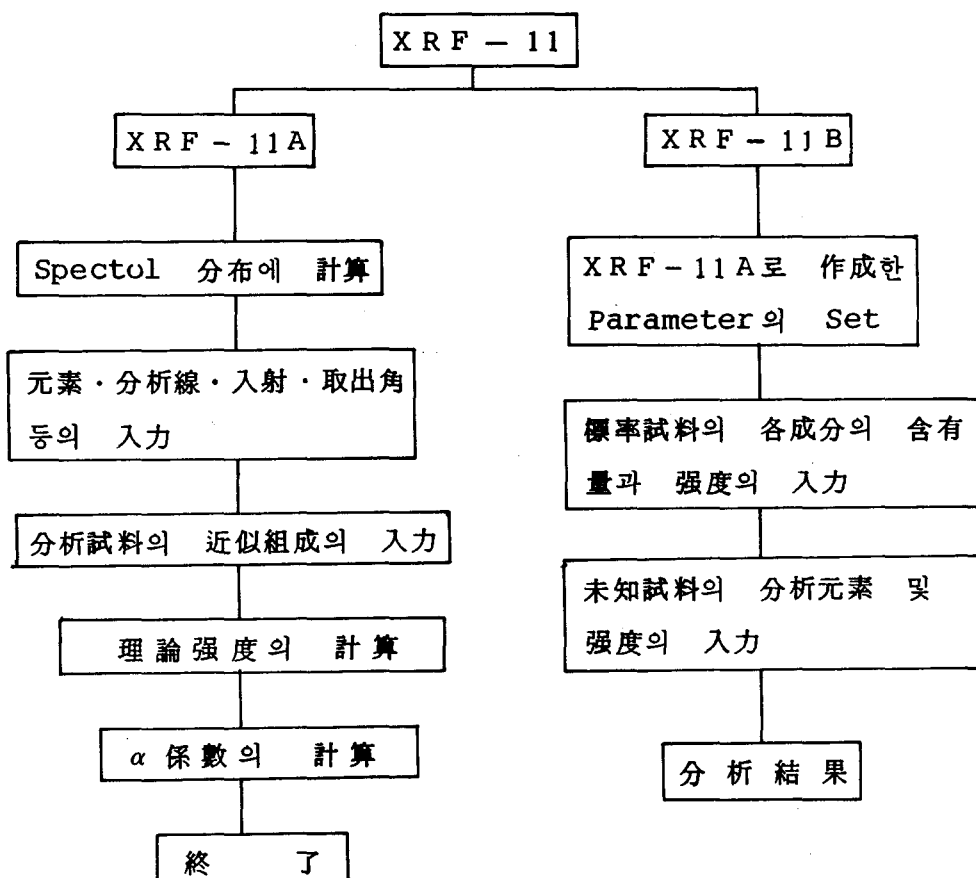


FIG.1 Flow Chart of Basic Constant Values Generated for Fundamental Parameter Methods

Fundamental Parameter의 理論式에 있어서는 J.W. Criss 와 L.S. Birks 가 報告하고 있다.¹¹⁻¹³⁾ 報告에는 各元素부터의 X線强度一次螢光X線에 의하여 勵起에 發生하는 二次螢光X線强度의 合計에近似하여 計算하였다. 여기서 三次 以上의 螢光X線强度를 省略하면 다음과 같이 된다.

$$I_i = g_i C_i \sum_k \left(\frac{D_i(\lambda_k) \mu_i(\lambda_k) d\lambda_k}{\mu_M(\lambda_k) \operatorname{cosec} \epsilon + \mu_M(\lambda_i) \operatorname{cosec} \psi} \right) .$$

$$\left\{ 1 + \frac{1}{2\mu_i(\lambda_k)} \sum_j D_j(\lambda_k) C_i K_j \mu_i(\lambda_j) \mu_j(\lambda_k) . \right.$$

$$\left[\frac{1}{\mu_M(\lambda_k) \operatorname{cosec} \epsilon} \ln \left(1 + \frac{\mu_M(\lambda_k) \operatorname{cosec} \epsilon}{\mu_M(\lambda_j)} \right) + \right.$$

$$\left. \frac{1}{\mu_M(\lambda_i) \operatorname{cosec} \psi} \ln \left(1 + \frac{\mu_M(\lambda_k) \operatorname{cosec} \psi}{\mu_M(\lambda_j)} \right) \right] \}$$

여기서

$$K_j = \left(1 - \frac{1}{J} \right) \omega$$

$$\mu_M(\lambda) = \sum_{i=1}^N C_i \mu_i(\lambda)$$

ϵ : 入射角

ψ : 取出角

I_i : i 元素의 X 線强度

$I(\lambda_k \Delta \lambda_k)$: 波長 λ_k 과 $\lambda_k + \Delta \lambda_k$ 間의 一次入射X線의 積分强度

g_i : 元素 i 부터의 絶對強廣에 關한 定數

ω : 螢光收率

J : 吸收端 Jump

$\mu_i(\lambda_k)$: 波長 λ_k 의 一次X線에 對한 元素 i 的 質量吸收係數

$\mu_i(\lambda_j)$: 元素 j 부터의 特性X線에 對한 元素 i 的 質量吸收係數

$\mu_M(\lambda_k)$: 波長 λ_k 에 對한 試料의 質量吸收係數

C_i : 元素 i 的 重量分率

C_j : 元素 j 的 重量分率

$D_i(\lambda_k)$: 波長 λ_k 이 元素 i 를 勵起하는데 매우 작을때는 1로 하
고 기타에는 0으로 한다.

Fundamental Parameter 法 또는 Semi-Fundamental Parameter
法에 使用하는 基本定數의 算出에 關한 Flow Chart는 FIG. 2와
같이 된다.

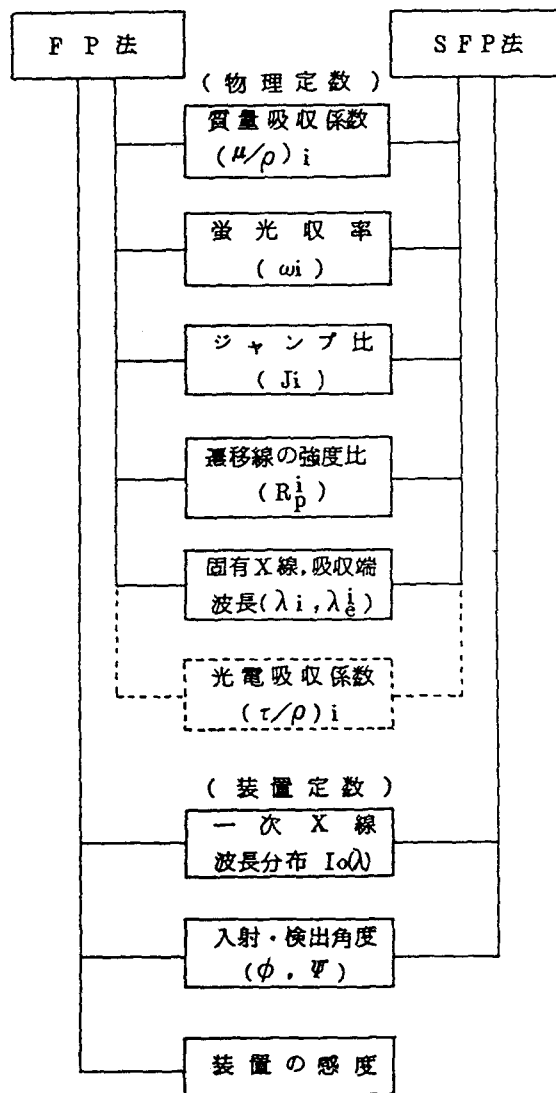


FIG.2 Basic Constant Values Generated for Fundamental Parameter and Semi -Fundamental Parameter Method.

3. 實驗方法

萬丈窟의 双子岩石柱의 一部를 化學的으로 洗淨하고 乾燥한 方法의 處理를 하지 않고 Ballmill에 의하여 10時間以上에 걸치여서 粉粹하였다. 그리하여 이 岩石粉을 200 mesh의 그물에 通過시켰다. 粉末試料를 鹽化비닐論 ($30\text{ mm}\phi = \text{直經 } 30\text{ mm}$)에 담겨놓고 水巨機에 의하여 10ton 重量으로 Press (加壓成形)을 하였다. 測定에는 Titan Mask ($Ti = 30\text{ mm}\phi$)를 使用하였다.

螢光X線分析에 使用한 裝置는 理學電機工業製의 全自動螢光X線分析裝置 System 3370이다. 이 System 3370는 分析 測定 및 裝置 調整 點檢의 自動化·檢量線 그리고 Matrix補正定數의 算出이 可能하다. 역시 定性 Spectol의 自動 Marking, 定量分析補正演算 그리고 自動定性·定量分析等의 高速的인 演算處理가 可能하다.

이 System 3370에 있어서의 試料上面照射方式의 特術은 다음과 같다. 「FIG. 3은 實驗 裝置의 diagram이고 FIG. 4는 測定時에 있어서 測定 狀態를 表示하고 있는 Flow Chart이다.」

- ⓐ Goniometer, 分光室, 檢出器, X線計測 System 그리고 System Controller 等의 試料室 以外의 構成部는 座位를 作成하였다.
- ⓑ 測定元素 Spectol에 對應하여서 1次 Filter, Slit, 結晶面, 檢出器, 波高分析器 그리고 測定時間을 精密하게 設定하였다.
- ⓒ 試料室의 内部에는 外部 試料交換機가 設定되고 있다. 本 實驗에는 6個 交換機를 選擇하였다.

System3370E

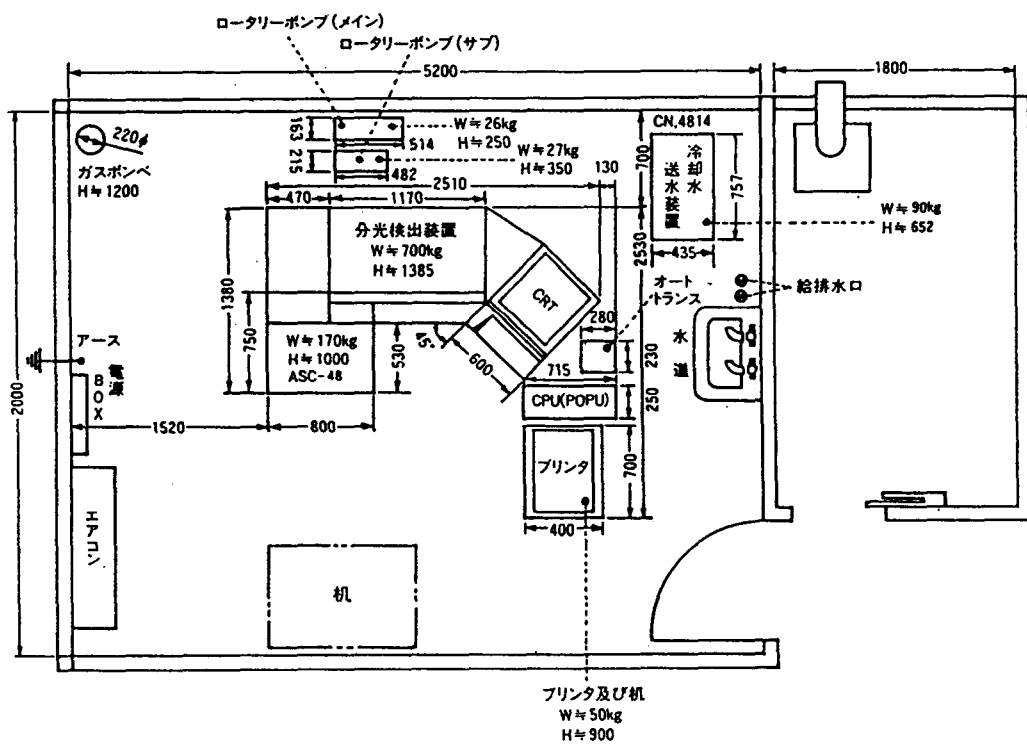


FIG.3 Schematic Diagram of Fluorescent X-ray System (Rigaku/system 3370E)

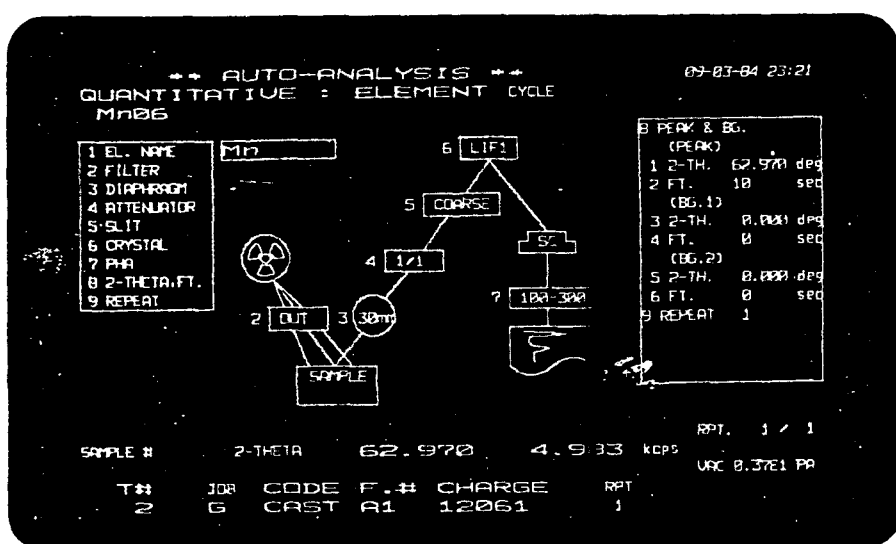


FIG.4 Automatic Quantitative Analysis Flow X-ray System

- ④ 測定에는 全体가 Microcomputer 를 設定하고 集中制御 自動 System 으로 處理하였다.
- ⑤ 最大 10000/min(2θ) 의 回轉 速度를 가진 高速 高精度인 Goniometer 를 設定하였다.
- ⑥ 測定時間은 0.1 秒 單位로 設定하고 定性分析에 있어서는 Step 에는 0.020 를 採用하였다.
- ⑦ 測定 Spectol 範圍에 測定 誤差가 많은 影響을 주기 때문에 最適 分光 結晶을 組合한 交換機를 使用하였다.
- ⑧ 測定 照射 面積은 20 mm^2 를 採用하였다.
- ⑨ Microcomputer에 의하여 測定條件, Chart, 測定Data 그 리고 測定結果를 印刷하도록 Program 을 作成하였다.
- 이렇게 하여서 分析 條件에 있어서는 TABLE 1 과 같다.

TABLE.1 Measuring Condition for Qualitative Analysis

Appratus	Rigaku/fully automated sequential X-ray Spectrometer System 3370.			
X-ray tube	End-window Rh-target			
Voltage	50KV			
Current	50mA			
Spectrum	(F~Mg)K α	(Al·Si)K α	(P*~Ca)K α	(Ti~U)K α
Crystal	TAP	PET	Ge	LiF
Detector	F·PC	F·PC	F·PC	SC
PHA	Diff	Diff	Diff	Diff

Slit 系에 있어서 入射側에는 鹽素 (Cl) 에는 Fine slit 를 使用하고 기타에는 Coarse 를 사용하였다.

分析에 使用된 回析角은 TABLE 2 와 같이 되고 있다. TABLE 2 에는 各元素에 對하여 20 로 設定한 回析角度 [EL. 2-Theta(deg)] , 螢光X線强度 [Intensity(Kcps)] 그리고 Spectra 를 表示하고 있다.

TABLE.2 Results of Identification for X-ray Fluorescent Intensity

EL. 2-Theta(deg)	Intensity(Kcps)	Spectra
Hv00 15.61 16.45 17.59 18.43 20.03 21.36 22.52 23.81 25.13 26.62 37.49 41.83 45.07 48.67 51.75 57.54 62.97 69.38 77.31 86.16	5.040 5.153 27.086 17.666 0.730 0.686 6.157 0.806 7.966 0.546 0.310 0.748 0.321 0.669 34.729 178.953 1.627 0.263 0.809 4.052	Rh-KB1 Rh-KB1 -COMPTON Rh-KA Rh-KA -COMPTON Nb-KB1 Zr-KB1 Nb-KA Zr-KA Sr-KB1 Rb-KB1 -* Sr-KA Rb-KA -* Zn-KB1 -* Zn-KA -* Cu-KA -* Ni-KA -* Fe-KB1 Fe-KA Mn-KB1 Mn-KA Cr-KB1 Cr-KA Ti-KB1 Ti-KA
Na00 55.12	2.479	Na-Ka
Mg00 45.17	10.470	Mg-Ka
Al00 144.77	74.019	Al-Ka
Si00 109.03	166.963	Si-Ka
P 00 141.02	2.786	P -Ka
S 00 110.77	0.334	S -Ka
Cl00 92.77	0.126	Cl-Ka
K 00 69.92	8.936	K -Ka
Ca00 61.93	86.565	Ca-Ka

TABLE 2에 의하여 Spectra chart를 그린것이 FIG.(5.1 ~ 5.3)이다.

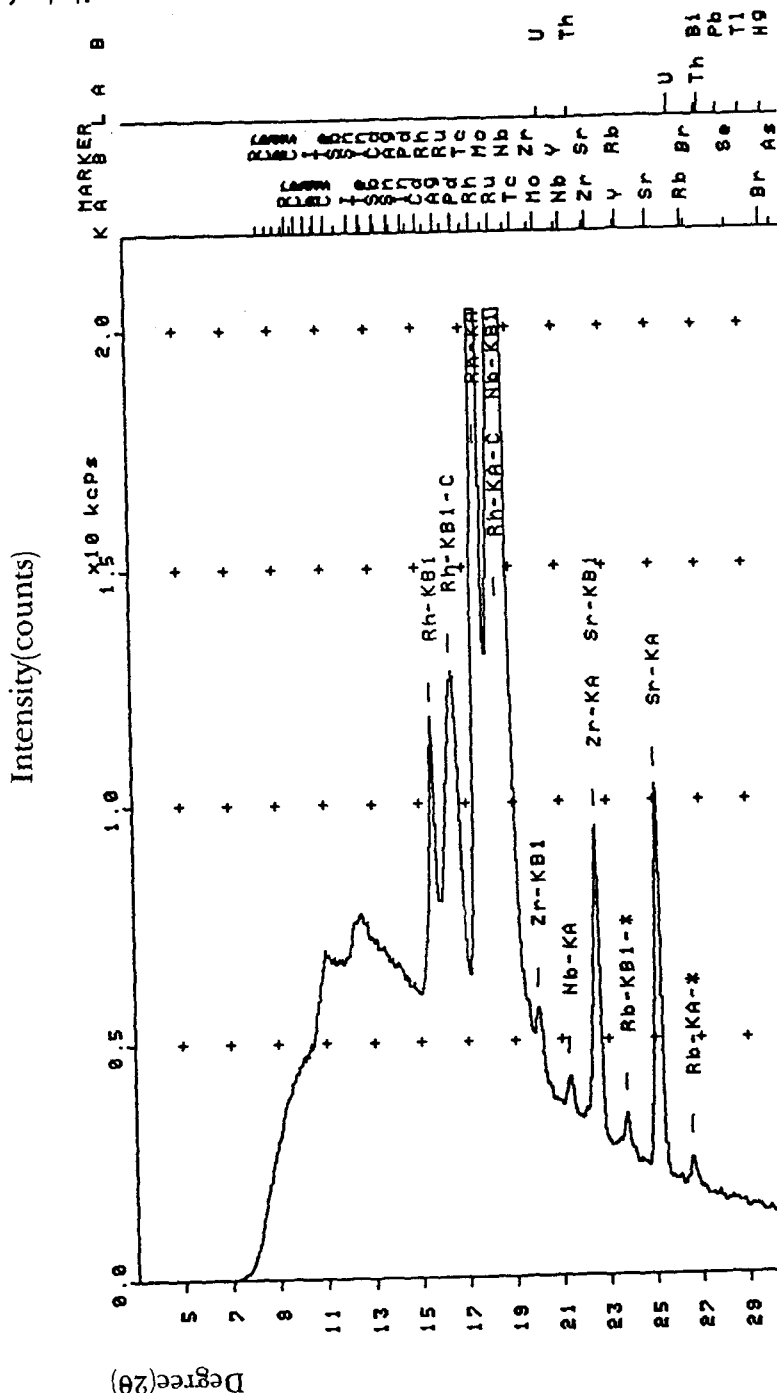


FIG.5.1 Simulated Relation between 2-theta Degree (20) and Intensity (KCPS) for X-ray Fluorescent Spectrography

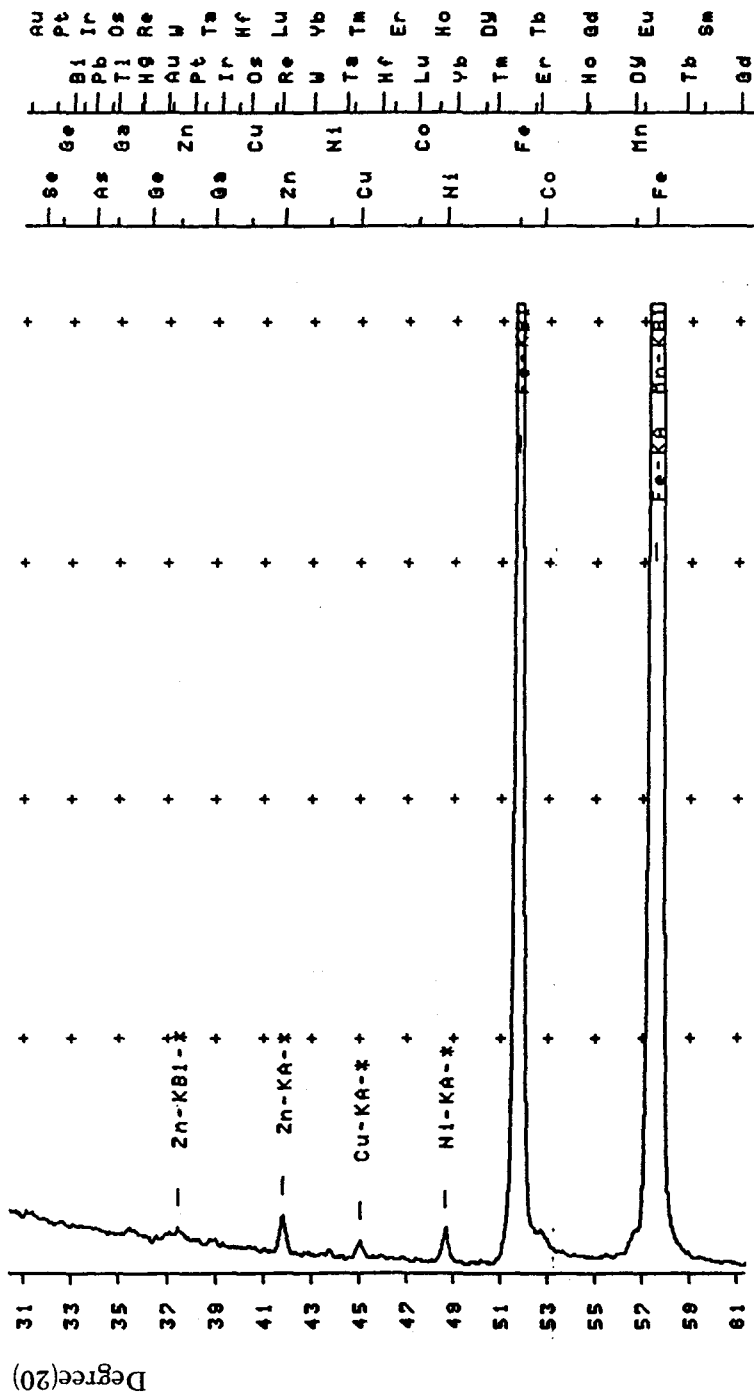


FIG.5.2 Simulated Relations between 2-theta degree (20) and Intensity (KCPS) for X-ray Fluorescent Spectrography [(Zn, Cu,Ni and Fe) K1 and (Zn, Fe and Mn) K β]

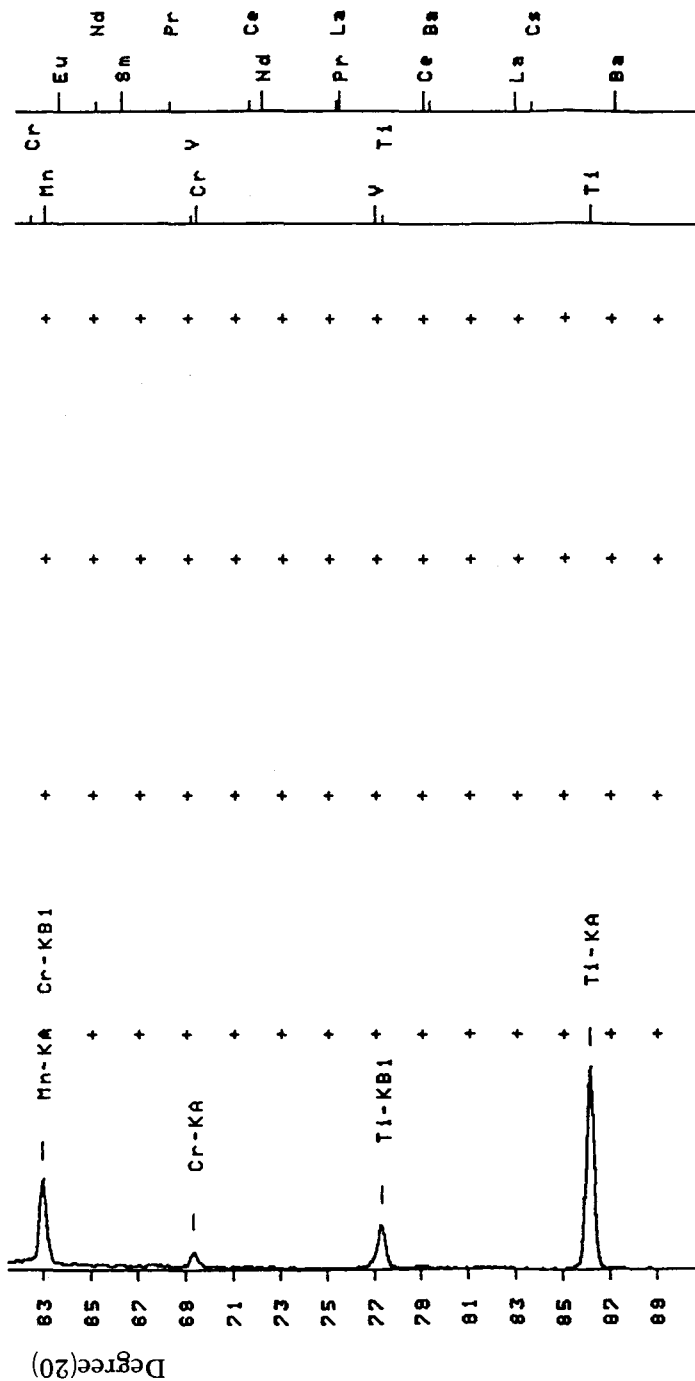


FIG.5.3 Simulated Relations between 2-theta Degree (20) and Intensity (KCPs) for X-ray Fluorescent Spectrography [(Mn,Cr and Ti) KI and (Cr and Ti) KB]

4. 實 驗 結 果

萬丈窟內의 双子石柱의 成分은 水素와 酸素을 包含한다면 12種類의 元素로 構成되어 混合物質이 되고 있다는 것을 알게 되었다. 이 溶岩石柱의 中間部에는 新로운 植物이 生成되고 있다. 이 溶岩石柱(사랑의 기둥)에는 觀光者들을 위하여 照明 設備가 完備되고 있다. 植物은 植物이 成長하는 條件이 있으면 育成된다. 그러므로 育成 環境 條件이 가추어진 双子 溶岩 石柱에 花粉이 人間의 웃에 붙어 와서 生成된 것이라고 본다. 특히 照明 裝置와 人間 出入이 가진 影響이라고 본다. 그리고 12種의 元素가 이 植物을 키우는데 榮養의 根據地로 되어있다. TABLE 3는 双子 石柱의 元素이다.

TABLE.3 Periodic Table of Elements in Manjang Cave of Twinrock

TABLE 3에 의하면 遷移全螢元素에는 치탄(Ti), 망간(Mn), 그리고 鐵(Fe) 成分이 包含되어 있다. 이 以外 9成分은 典型金螢元素로 되어있다. 이 典型金螢元素에 있어서는 IA族(H, Na 및 K), II A族(O)이 있다. 여기서 알미늄(Al), 규소(Si) 및 인(P)은 半導體材料로써 貴重한 元素이고 電子計算機를 包含한 電子工學에 크나큰 役割을 지니고 있다.

이 以外에 含有量이 0.06 (wt %) 以下인것 SO_3 (0.049 wt %), Cl (0.036 wt %), Cr_2O_3 (0.057 wt %), SrO (0.052 wt %), ZrO (0.017 wt %) 그리고 NbO (0.003 wt %)이 있다.

4. 1 酸化마그네슘(MgO)

MgO 에 있어서 마그네슘의 螢光X線强度는 $\text{Mg K}\alpha$ 線에 $2\theta = 45.17^\circ$ 時에 10.470 (KCPS) 이었다. 그結果 MgO 의 含有率는 5.5(wt%)로 되어있다. (FIG. 6의 上部, TABLE 2 및 TABLE 4)

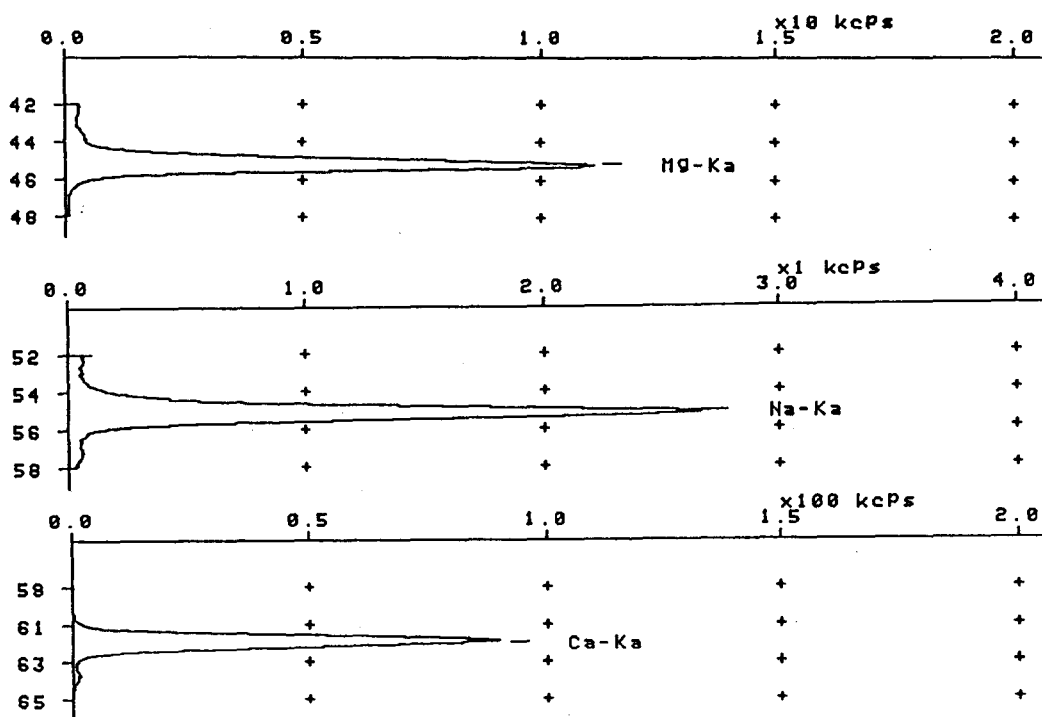


FIG.6 Chart Recording from by MgKl , NaKl and CaKl X-ray Fluorescent Line for Manjang Cave of Twinrock.

TABLE,4 Results of Order Estimation in Manjang Cave of Twinrock.

Component	Definition	EL. CODE	Spectrum	Int. kcps	Conc. wt%
NA20		NA00	Na-KA	2.479	3.6
MGO		MG00	Mg-KA	10.470	5.5
AL203		AL00	Al-KA	74.019	17.
SiO2		SI00	Si-KA	166.96	49.
P205		P 00	P -KA	2.786	0.28
S03		S 00	S -KA	0.334	0.049
CL		CL00	Cl-KA	0.126	0.036
K20		K 00	K -KA	8.936	0.86
CAO		CA00	Ca-KA	86.565	8.1
T1O2		HVO0	Ti-KA	4.052	2.1
CR203		HVO0	Cr-KA	0.263	0.057
MNO		HVO0	Mn-KA	1.627	0.20
FE203		HVO0	Fe-KB1	34.729	13.
SRO		HVO0	Sr-KA	7.968	0.052
ZR02		HVO0	Zr-KB1	0.730	0.017
NBO		HVO0	Nb-KA	0.686	0.0026

洞窟 (Vol 14 에 p.55)¹⁴⁾¹⁵⁾ 의 DATA에 의하면 平均值 (5.19), 最小值 (0.13), 最大值 (10.61) 그리고 範圍 (10.48) 이고 標準備差 (2.664), 分散 (7.096), 標準誤差 (0.336) 그리고 變動係數 (0.513) 이다. 이것과 比較하여 본다면 平均值에 가까운 含有率로 되어 있다.

한편 韓國地質學會 (Vol 12 의 p.214)³⁾ 의 元鐘寬敘授의 論文에 의하면 『 MgO 는 SiO₂ 含有率이 減少됨에 따라서 增加하는 경향을 나타낸다. 大体로 後期에 갈수록 含有比가 增加한다. 그들의 範圍는 8.7 %에 까지 달한다. 』라고 한다.

筆者は MgO 와 SiO₂ 의 關係를 다음과 같이 計算하였다.

$$W (MgO) = 30.44 - 0.495 W (SiO_2) \quad \dots \dots \dots \quad (1)$$

SiO₂ 와 MgO 의 相關係數는 (- 0.790)로 되고 있으니 元鐘寬論文은 確證하게 된다.

同時間에 MgO 와 Al₂O₃ 의 關係를 算出하였다.

$$W (MgO) = 29.028 - 1.438 W (Al_2O_3) \quad \dots \dots \dots \quad (2)$$

로 되고 있으며 相關係數는 - 0.751 되고 있다. MgO 는 Al₂O₃ 보다 SiO₂ 가 相關係性이 크다는 것을 알게 되었다.

4. 2 酸化나트륨 (Na_2O)

Na_2O 에 있어서 나트륨의 螢光 X 線强度는 $\text{NaK}\alpha$ 線에 $2\theta = 55.120^\circ$ 時에 2.479 (KCPS) 이었다. 그結果 Na_2O 의 含有量은 3.6(wt%)로 되어있다. (FIG. 6 的 中部), TABLE 2 또는 TABLE 4)

洞窟 (Vol 14 의 p.55)¹⁴⁾ 의 DATA에 의하면 平均值 (4.01), 最小值 (2.10), 最大值 (6.39) 그리고 範圍 (4.29 wt %)이고 標準備差 (0.871), 分散 (0.758), 標準誤差 (0.110) 그리고 變動係數 (0.217)이다. 이 DATA와 比較하여 본다면 實驗值 (3.6 wt %) 란 것은 平均值 以下로 되어 있다.

한편, 韓國地質學會 (Vol 12의 p.214)에 의하면 『 Na_2O 는 SiO_2 含量에 따르는 變化를 나타내지 않아 그의 變化曲線은 거의 수준에 『增加한다.』라고 지적하고 있다.

筆者는 Na_2O 와 SiO_2 의 關係를 다음과 같이 算出하였다.

$$W(\text{Na}_2\text{O}) = -5.297 + 0.183 W(\text{SiO}_2) \quad \dots \dots \dots \quad (3)$$

여기서 Na_2O 와 SiO_2 의 相關係數는 0.891로 되고 있으니 元鐘 實數授의 水平이란 것은 範圍 (0.183)에 의하여 確認할 수 있다.

따라서 Na_2O 와 Al_2O_3 에도 算出하였다.

로 되고 있으며 相關係數는 0.645로 되어있다. Na_2O 는 Al_2O_3 , 보다 SiO_2 가 相關係性이 크다는 것을 알게 되었다.

4.3 酸化칼슘 (CaO)

CaO에 있어서 칼슘의 螢光X線強度는 CaK α 線에 $2\theta = 61.930$ 時
에 86.565 (KCPS) 이었다. 그結果 CaO의 含有量은 8.1 (wt %)
로 되어있다. (FIG. 6의 下部), TABL 2 또는 TABL 4)
洞窟 (Vol 14의 p.55)¹⁴⁾¹⁵⁾ 의 DATA에 의하면 平均值 (7.19),
最小值 (1.07), 最大值 (10.17) 그리고 範圍 (9.10)이고 標準偏差
(2.077), 分散 (4.313), 標準誤差 (0.262) 그리고 變動係數 (0.289)
이다. 이 DATA와 比較하여 본다면 實驗值 (8.1 wt %)
란 것은 平均值보다 크다는 것을 알게되었다.

一方, 韓國地質學會誌 (Vol 12 의 p.214)³⁾에 의하면 『 CaO 의 含量은 2.1 ~ 12.7 %로서 各期에 따르는 變化曲線은 거의 同一線上에 놓이다.』라고 지적하고 있다.

CaO 는 SiO_2 와 Al_2O_3 에對한關係式을算出하였다.

$$W(\text{CaO}) = 19.54 - 0.745 W(\text{Al}_2\text{O}_3) \dots \quad (6)$$

여기서의 相關係數는 SiO_2 (- 0.948) 와 Al_2O_3 (- 0.500) 로

되어있다. CaO는 Al_2O_3 보다 SiO_2 가 相關性이 크다. 反面에 勾配는 反對로 되어있다.

4. 4 酸化칼륨 (K_2O)

K_2O 에 있어서 칼륨의 螢光X線强度는 $KK\alpha$ 線에 $2\theta = 69.920$ 時에 8.936 (KCPS) 이었다. 그結果 K_2O 의 含有率는 0.86 (wt%)로 되어있다. (FIG. 7 의 上部, TABLE 2 및 TABLE 4)

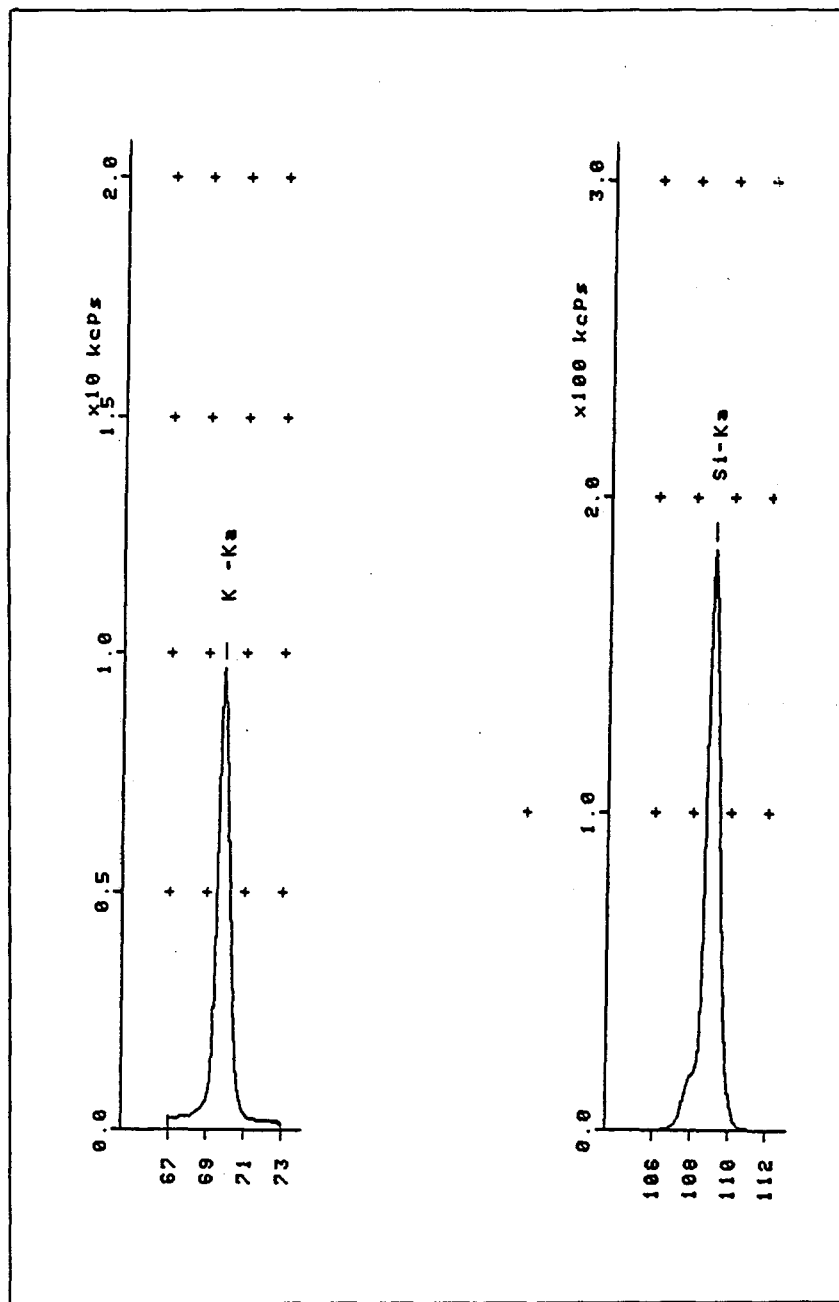


FIG.7 Chart Recording from by K_{Kl} and Si_{Kl} X-ray Fluorescent Line for Manjang Cave of Twinrock

洞窟 (Vol 14 의 p.55)¹⁴⁾ 의 DATA에 의하면 平均值 (1.97), 最小值 (0.83), 最大值 (5.63) 그리고 範圍 (4.80)이고 標準備差 (1.057), 分散 (1.117), 標準誤差 (0.135) 그리고 變動係數 (0.536)이다.

本 實驗의 0.86 (wt %)는 最小值에 가까운 편에 있다.

韓國地質學會誌 (Vol 12의 p.214)에 의하면 『K₂O成分의含量은 0.5~5.3%이며 SiO₂의量이 많아짐에 따라增加된다』라고 지적하고 있다.

筆者는 K_2O 에 대하여 Si_2 와 Al_2O_3 의 關係式을 算出하였다.

여기서의 相關係數는 SiO_2 (0.948) 이고 Al_2O_3 (0.397) 이다.

K_2O 와 SiO_2 의 相關係性은 매우 크다는 것을 알게되고 Al_2O_3 는 매우 적다는 것을 알게 되었다.

4.5 酸 (SiO_2)

SiO_2 에 있어서珪素의螢光X線强度는 $\text{SiK}\alpha$ 線에 $2\theta = 109.030^\circ$ 時에 166.963 (KCPS) 이었다. 그結果 SiO_2 의 含有率은 49(wt%) 이었다. (FIG. 6의 下部, TABLE 2 및 TABLE 4)

洞窟 (Vol 14의 p.55)¹⁴⁾ 의 DATA에 의하면 平均值 (50.99), 最小值 (45.11), 最大值 (65.54) 그리고 範圍 (20.43)이고 標準備差 (4.252), 分散 (18.076), 標準誤差 (0.536) 그리고 變動係數 (0.083)이다. 本實驗의 49 wt %는 平均值 부근에 있다.

韓國地質學會誌 (Vol 12 의 p.214) ³⁾에 의하면 『含量의 範圍가
넓은 것은 第2期와 第4期에 屬하는 것들이고 그들의 分布面積도
比較的 넓다. 玄耗岩의 경우 平均 成分值로 보아 SiO_2 的 量은
前期에서 後期로 갈수록 增加하는 경향을 보여준다』라고 지적하고
있다.

여기서 SiO_2 와 各成에의 關係式과 相關係數를 表示한다.

$$W(\text{TiO}_2) = 10.061 - 0.151 W(\text{SiO}_2) \quad R = -0.897 \quad \dots \dots \dots \quad (9)$$

$$W(\text{Al}_2\text{O}_3) = 10.351 + 0.122 W(\text{SiO}_2) \quad R = 0.373 \quad \dots \dots \dots \quad (10)$$

$$W(\text{Fe}_2\text{O}_3) = 1.235 + 0.031 W(\text{SiO}_2) \quad R = 0.096 \quad \dots \dots \dots \quad (11)$$

$$W(\text{FeO}) = 30.754 - 0.456 W(\text{SiO}_2) \quad R = -0.822 \quad \dots \dots \dots \quad (12)$$

$$W(MnO) = 0.167 - 0.002 W(SiO_2) \quad R = -0.037 \quad \dots \dots \dots \quad (13)$$

$$W(\text{MgO}) = 30.439 - 0.495 W(\text{SiO}_2) \quad R = -0.790 \quad \dots \dots \dots \quad (14)$$

$$W(\text{CaO}) = 30.787 - 0.463 W(\text{SiO}_2) \quad R = -0.948 \quad \dots \dots \dots \quad (15)$$

$$W(\text{Na}_2\text{O}) = -5.297 + 0.183 W(\text{SiO}_2) \quad R = 0.891 \quad \dots \dots \dots \quad (16)$$

$$W(K_2O) = -10.040 + 0.236 W(SiO_2) \quad R = 0.948 \quad \dots \dots \dots \quad (17)$$

$$W(H_2O^+) = 0.083 + 0.007 W(SiO_2) \quad R = 0.113 \quad \dots \dots \dots \quad (18)$$

$$W(H_2O^-) = 0.424 - 0.003 W(SiO_2) \quad R = -0.081 \quad \dots \dots \dots \quad (19)$$

$$W(P_2O_5) = 1.087 - 0.010 W(SiO_2) \quad R = -0.228 \quad \dots \dots \dots \quad (20)$$

여기서 正比例에 큰것은 Na_2O (0.183) 와 K_2O (0.236) 이고 反比例에 큰것은 MgO (- 0.495) 와 CaO (- 0.463) 이다. 相關係數에 있어서는 正相關係數는 Na_2O (0.891) 와 K_2O (0.948) 이고 負相關係數는 CaO (- 0.948), TiO_2 (- 0.897) 그리고 FeO (- 0.822) 이다.

相關係數는 平方和에 의하여 決定되기 때문에 關聯性을 檢射할 必要가 있다. 여기서 相關係數가 제일 큰것은 $\text{K}_2\text{O} = 0.948$ 임을 알게 되었다.

4. 6 無水硫酸 (SO_3)

SO_3 에 있어서 硫橫의 螢光 X線強度는 $\text{SK}\alpha$ 線에 $2\theta = 110.770$ 時에 0.334 (KCPS) 이었다. 그結果 SO_3 的 合有量은 0.049 (wt%) 로 되어있다. (FIG. 7 의 上部, TABLE 2 및 TABLE 4)

硫橫은 酸素와 같이 VI族에 所屬하고 있으며 할로겐 다음에 가는 強力한 非金屬元素이다. 많은 金屬들과도 化合되기 쉬운 元素이다.

硫橫은 淡褐色의 固体이지만 물에는 溶解하기가 어려우지만 CS_2 에는 溶解하기가 쉽다. 매우 작은 合有量으로 되고 있으나 酸化力이 있기 때문에 發燃에는 注意가 必要하다.

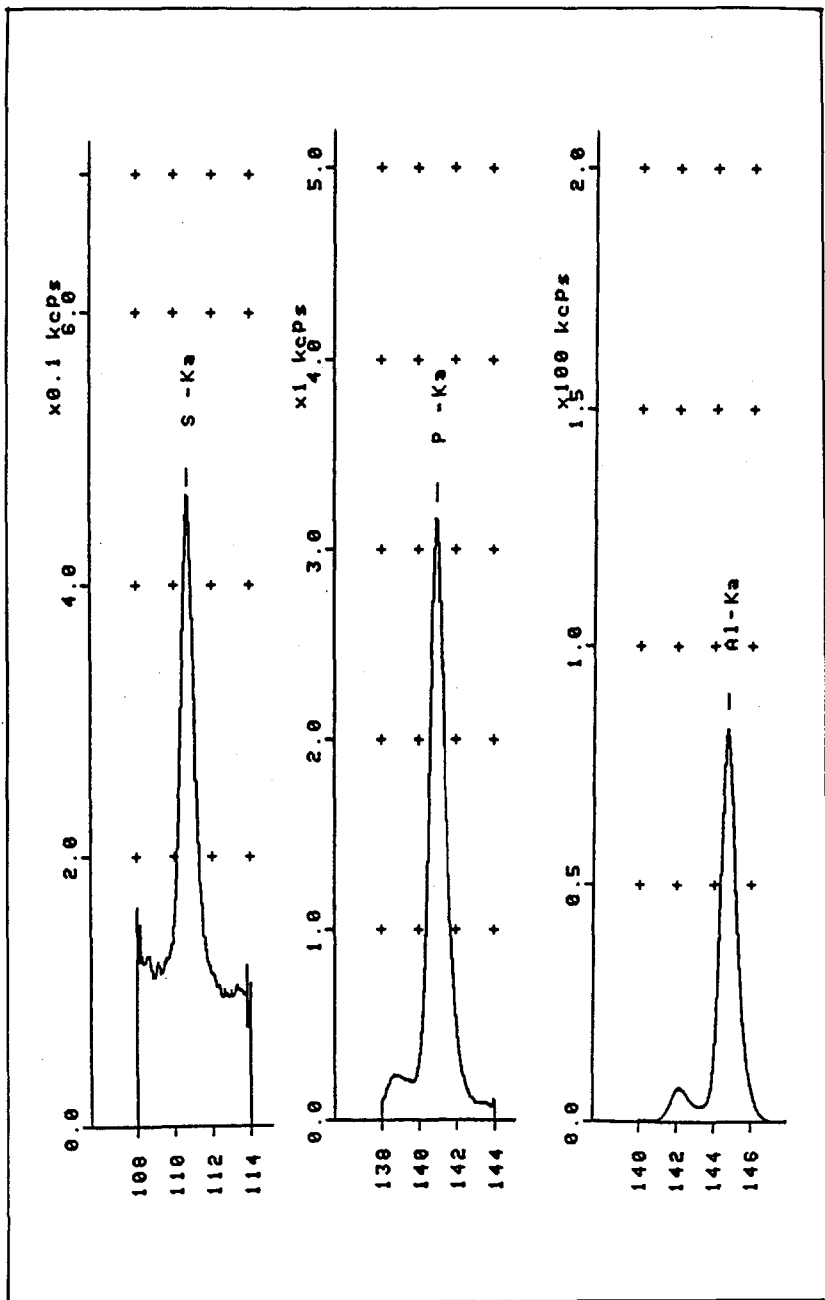


FIG.8 Chart Recording from by S KI ,PKI and AlK1 X-ray Fluorescent Line for Manjang Cave of Twinrock

4.7 五酸化磷 (P_2O_5)

P_2O_5 에 있어서 燐의 螢光 X線强度는 $PK\alpha$ 線에 $2\theta = 141.020$ 時
에 2.786 (KCPS) 이었다. 그結果 P_2O_5 의 含有量은 0.28 (wt %)
로 되어있다. (FIG. 7 의 中部, TABLE 2 및 TABLE 4)

洞窟 (Vol. 14 의 p. 55)¹⁴⁾ 의 DATA에 의하면 P_2O_5 의 平均值 (0.56), 最小值 (0.03), 最大值 (1.00) 그리고 範圍 (0.97) 이고 標準偏差 (0.193), 分散 (0.037), 標準誤差 (0.024) 그리고 變動係數 (0.344)이다. 本實驗의 0.28 wt %는 平均值보다는 적다.

P_2O_5 는 SiO_2 와 Al_2O_3 에對한 方程式과 相關係數를 求했다.

$$W(P_2O_5) = 1.087 - 0.010 (SiO_2) \quad R = -0.228 \quad \dots \dots \dots \quad (21)$$

$$W(P_2O_5) = -0.132 - 0.042 (Al_2O_3) \quad R = 0.301 \quad \dots \dots \dots \quad (22)$$

P_2O_5 에 대하여 SiO_2 와 Al_2O_3 에는相關性이 없다는 것을確認하였다.

4. 8 酸化알루미늄 (Al_2O_3)

Al_2O_3 에 있어서 알루미늄의 螢光 X 線強度는 $\text{AlK}\alpha$ 線에 $2\theta = 144.770^\circ$ 時에 74.019 (KCPS) 이었다. 그結果 Al_2O_3 의 含有量은 17 (wt%) 로 되어있다. (FIG. 7 의 下部, TABLE 2 및 TABLE 4)

洞窟 (Vol. 14의 p.55) ¹⁴⁾ 의 DATA에 의하면 Al_2O_3 的 平均值

(16.57), 最小值 (13.84), 最大值 (19.21) 그리고 範圍 (5.37)
이고 標準偏差 (1.392), 分散 (1.937), 標準誤差 (0.175) 그리고
變動係數 (0.084) 이다.

韓國地質學會誌 (Vol 12 의 p.221)³⁾ 에는 元鑑寬教授가 Al_2O_3 와
 $\text{Na}_2\text{O} + \text{K}_2\text{O}$ 에 關한 diagram 를 쓰고 있다. 各境出期의 特性을
알게 되었다.

여기서는 Al_2O_3 에 各成分에의 關係式과 相關係數를 表示한다.

$$W(\text{TiO}_2) = 4.504 - 0.134 W(\text{Al}_2\text{O}_3) R = -0.258 \dots\dots (23)$$

$$W(\text{SiO}_2) = 32.112 + 1.139 W(\text{Al}_2\text{O}_3) R = 0.073 \dots\dots (24)$$

$$W(\text{Fe}_2\text{O}_3) = -1.229 + 0.245 W(\text{Al}_2\text{O}_3) R = 0.245 \dots\dots (25)$$

$$W(\text{FeO}) = 20.843 - 0.804 W(\text{Al}_2\text{O}_3) R = -0.475 \dots\dots (26)$$

$$W(\text{MnO}) = 0.201 - 0.003 W(\text{Al}_2\text{O}_3) R = -0.159 \dots\dots (27)$$

$$W(\text{MgO}) = 29.028 - 1.438 W(\text{Al}_2\text{O}_3) R = -0.751 \dots\dots (28)$$

$$W(\text{CaO}) = 19.536 - 0.745 W(\text{Al}_2\text{O}_3) R = -0.500 \dots\dots (29)$$

$$W(\text{Na}_2\text{O}) = -2.673 + 0.403 W(\text{Al}_2\text{O}_3) R = 0.645 \dots\dots (30)$$

$$W(\text{K}_2\text{O}) = -3.028 + 0.302 W(\text{Al}_2\text{O}_3) R = 0.397 \dots\dots (31)$$

$$W(\text{H}_2\text{O}^+) = 0.620 - 0.013 W(\text{Al}_2\text{O}_3) R = -0.070 \dots\dots (32)$$

$$W(\text{H}_2\text{O}^-) = -0.178 + 0.027 W(\text{Al}_2\text{O}_3) R = 0.223 \dots\dots (33)$$

$$W(\text{P}_2\text{O}_5) = -0.132 + 0.042 W(\text{Al}_2\text{O}_3) R = 0.301 \dots\dots (34)$$

여기서 正比例에 큰것은 SiO_2 (1.139)와 Na_2O (0.403)이고,
反比例에 큰것은 MgO (-1.438)와 FeO (-0.804)이다. 相關係
數는 勾配와 比例하고 있다는 것을 알게 되었다.

5 . 考 察

5.1 電子顯微鏡寫眞에 의한 考察

萬丈窟 双子溶岩石柱의 一部를 粉粹하고 球裝粉機 (Ball Mill)로
써 200mesh 以下를 만들었다. 이렇게 粉粹한 粉沫을 銀 Paste
와 같이 有機物質과 같이 溶解시키였다. 實驗에 使用한 裝置는 日
本電子工業 (株) 製 JSM- 35 Type 이다. 測定에는 走査型으로 하고
加速電壓은 15kV 이고 電流는 50mA 로 說定하였다. FIG. 10 의

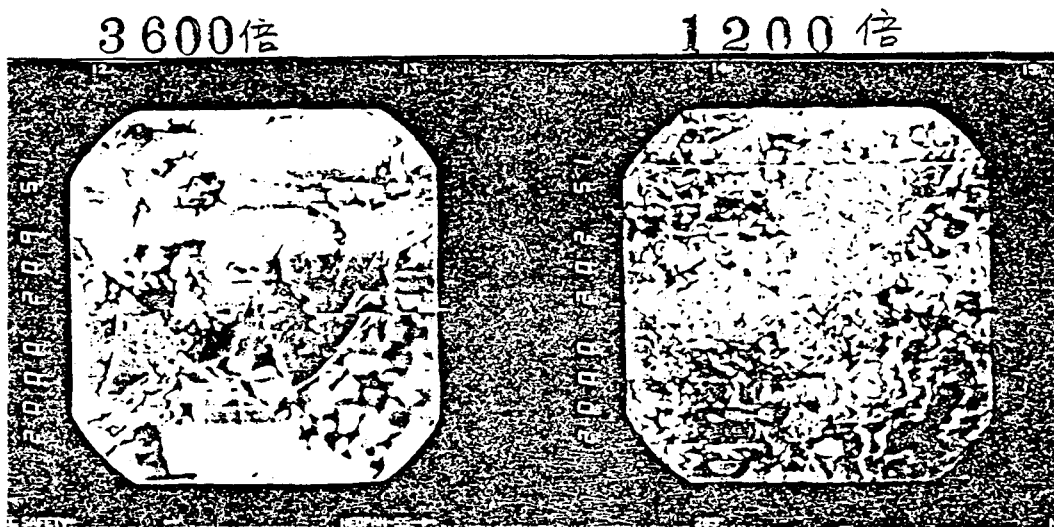


FIG.9 Typical Microstructure of mixed powder samples in Manjang of Twinrock.

右側寫眞은 材料의 1200 倍로 摄影한것이고 左側의 寫眞은 右值의
3 倍 (3600 倍)로 摄影한 寫眞이다. 1200 倍로 된 右側의 寫眞은

黑白部分에 있어서 傾向·秩序에 이어서의 構造는 明白히 알 수가 없다. 한편 左側의 寫眞에는 明白히 알 수가 있게 되었다. 3600 倍된 中央에는 三角形모양이 이루어지고 있다. 双子 三角形은 SiO_2 의 成分이 硅素 (Silicon) 이다. 硅素 (Si)는 VIIA族에 속하고 있고 單結晶으로 되기 쉬운 半導體材料이면 電子工學分野에 크나큰 役割을 이루고 있다. 半導體工學의 論文에는 흔히 볼 수 있는事實이다. 硅素는 全体에 49wt %로 차지하고 있는 事實을 보아도 認定할 수 있다. 앞으로 Color 寫眞과 擴大寫眞에 의하여 새로운 現象을 찾을 수 있다.

5. 2 螢光X線强度에 關한 考察

溶岩石柱를 分析하기 위하여 TABLE 2에는 螢光X線回析角度, 螢光X線强度 그리고 Spectra를 表示하였다. FIG. 5에 있어서 螢光X線의 強度와 角度를 圖示化하였다. TABLE 4에 있어서 成分 Spectra, 螢光X線强度 그리고 含有率을 表示하고 있다. TABLE 4에 의한 DATA를 使用하여서 從軸에는 含有率로하고 橫軸에는 螢光X線强度로 하여 圖示化하였다. (FIG. 10).

FIG. 10에 있어서 그種의 直線性이 있다. 上部의 直線에는 TiO_2 , Fe_2O_3 그리고 SiO_2 가 있고, 下部에의 直線에는 MnO , P_2O_5 , K_2O 그리고 CaO 가 있다. 여기서 Na_2O 와 Al_2O_3 는 이直線부터는 조금 멀어지고 있다. 全体的으로 보다 螢光X線强度가增加할수록 含有量도 增加하고 있다는것을 알게 되었다.

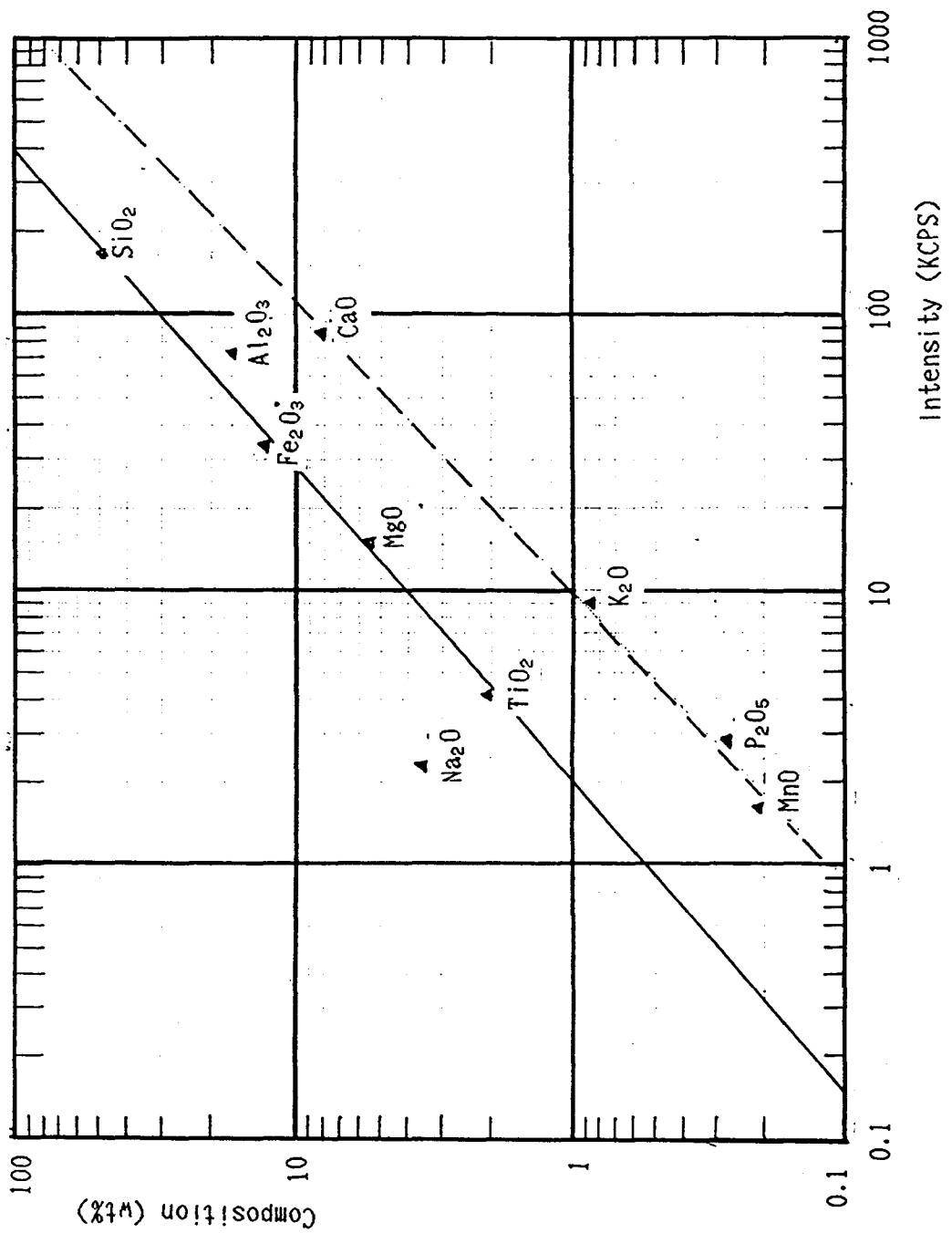


FIG.10 Relation between Composition (wt %) and Intensity for X-ray Fluorescent (KCPS)

FIG. 11은 TABLE 4에의 DATA를 棒 graph로 表示하였다.

FIG. 11에 의하면 IV族의 SiO_2 가 49wt %이고, III族인 Al_2O_3 가 17wt %이며 Fe_2O_3 는 13wt %로 含有되어 있다. 이 3成分을 合하면 79wt %이다. 그他の 21wt %이 되어있다.

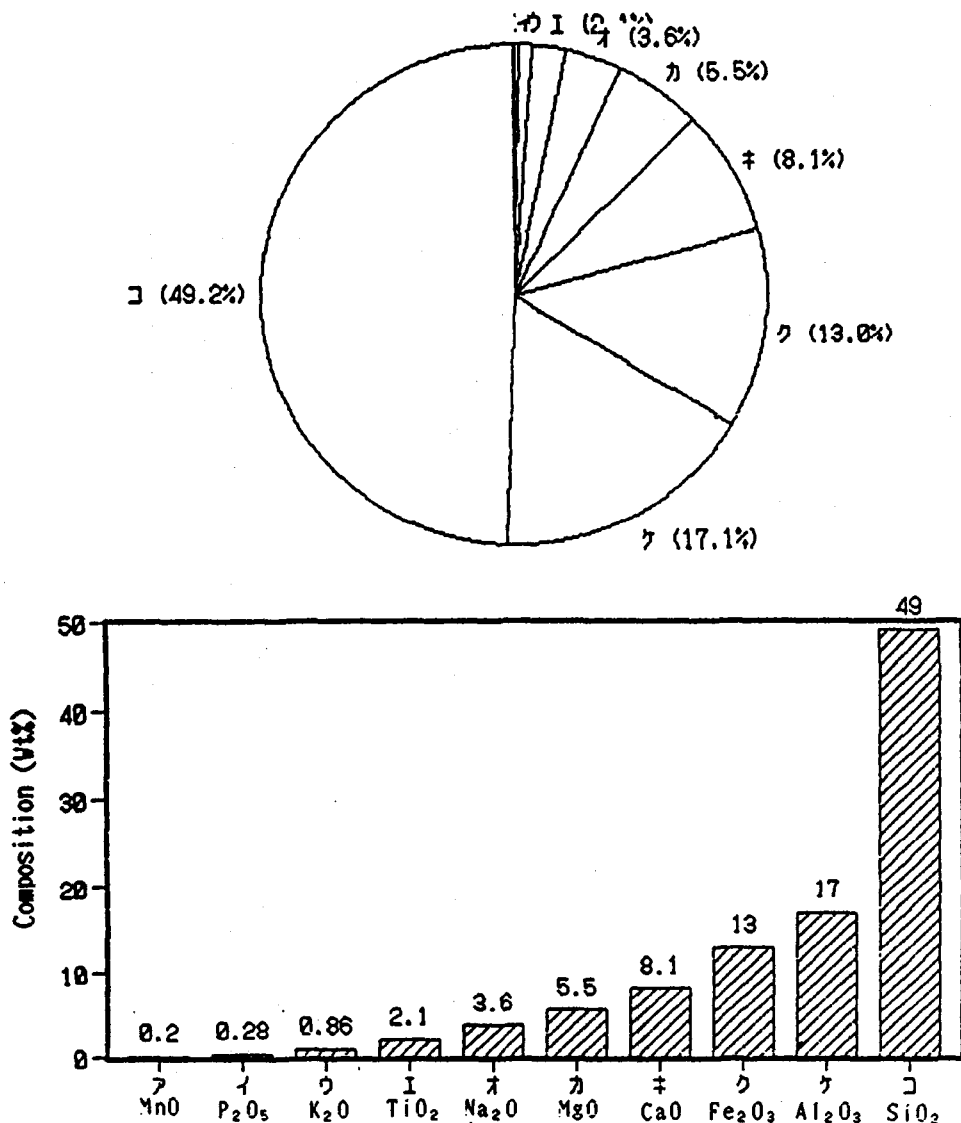


FIG.11 Composition obtained Fundamental Parameter Method for X-ray Fluorescent in Manjang of Twinrock.

6. 結論

濟州火山島에 있어서 萬丈窟의 螢光X線分析은 最初의 論文이라고 생각된다. 螢光X線分析에 있어서 Semi-Fundamental Parameter 法을 使用함에 있어서 非破壞的일 뿐만 아니라 早期 分析이 可能 하다는 長點을 가지고 있다. 本 實驗에 있어서의 內容을 다음과 같이 要約할 수 있다.

- (a) 化學周期律表로 본다면 3價 및 4價의 元素가 包含되어 있다.
- (b) 金屬元素에는 典型金屬元素와 遷移金屬元素가 있다. 遷移金屬元素에는 Ti (Titanium), Mn (Manganese), 그리고 Fe (鐵) 이 있다. 그他是 典型金屬元素로 되어 있다.
- (c) 合有量이 많은 것은 SiO_2 (49wt %), Al_2O_3 (17wt %) 그리고 Fe_2O_3 (13wt %)의 順으로 되어 있다.
- (d) 合有量이 적은 것은 MnO (0.20wt %), P_2O_5 (0.28wt %) 그리고 K_2O (0.86wt %) 順으로 되어 있다.
- (e) 螢光X線強度와 合有量과에 있어서 一定한 傾向과 關係를 알게 되었다.
- (f) 電子顯微鏡寫眞에 의하여 3600倍로 據大를 하여 보니 Si(珪素)의 双子三角形이 뚜렷하게 알게 되었다.
- (g) 萬丈窟 双子溶岩石柱의 合有量은 濟州火山島의 平均 分析值와 比較하여 본다면 크나큰 差異가 없다는 것을 알게 되었다.

謝辭

本論文의作成에 있어서助言하여주신韓國洞窟學會會長地理學博士인洪始煥教授에게감사를드립니다.

萬丈窟의岩石을採集하여주신金君天氏와박행배氏그리고郵送에수고를한동생高文玉과金景植에게감사를드린다.

參 考 文 獻

1. Lee., S.M. J. Geol., Soc. Korea 「Volcanic Rocks in Cheju Island」 **10**, pp.25~36 (1966)
2. 元鍾寬 建國大學校, 理學論集 「濟州島의 形成過程과 火山活動에 關한 研究」 **1**, pp.7~48 (1975)
3. 元鍾寬 地質學會誌 「濟州島의 火山岩類에 對한 岩石化學의 研究」 **12**, pp.207~226 (1976)
4. 李文遠 岩石礦物鑽床學會誌 「韓國, 濟州火山島의 地質」 **77**, pp.55~64 (1982)
5. 李文遠 The Science Report of the TOHOKU University 「Petrology and Geochemistry of JEJU Volcanic Island, Korea」 Series III pp.177~256 (1982)
6. 李文遠 地質學會誌 「濟州火山岩類에 含有된 Mafic 捕獲岩」 **20**, pp.306~313 (1984)
7. 元鍾寬, 李文遠 李商萬教授頌壽記念論文集 「韓半島에서의 第四紀 火山活動과 火山岩類의 技術」 pp.227~242 (1986)
8. 元鍾寬, 松田准一, 長尾敬介, 金光浩, 李文遠 The Journal of the Korea Institute of Mining Geology 「Palaeomagnetism and Radiometric Age of Trachytes in Jeju Island, Korea」 **19**, pp.25~33 (1989)

9.

10. 大野勝美, 第 19 回 X 線分析討論會講演要旨集 p.37 (1982)

FIG.1 Model

11. J.W. Criss Adv, X-ray, Anal 23, p.93 (1980)

12. 國田司, 赤松信 X 線分析의 進步 「 Fundamental Parameter
法에 의한 Aluminium 와 銅合金의 螢光X 線分析 」 17,
p.177 (1986)

13. J.W. Criss, L.S. Birks; Anal, Chen

40, p.1080 (1968)

14. 澤勲 洞窟 「濟州火山島의 岩石成分에 關한 統計學的인 數值
解析 」 14, pp.42 ~ 90 (1987)

15. 金景勲 第 10 次 國內外 韓國科學技術者 綜合學術大會論文集
「 The Statistical on Numerical Analysis for
the Petrology and Bulk Chemical Composition in
Cheju Volcanic Island 」 III - II pp.874 ~ 878 (1987)